

自控原理复习资料

3603A 党支部供

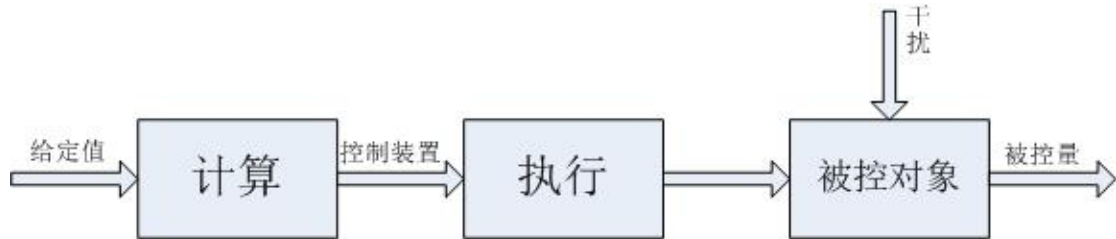
第一章 自动控制的一般概念

1、概念

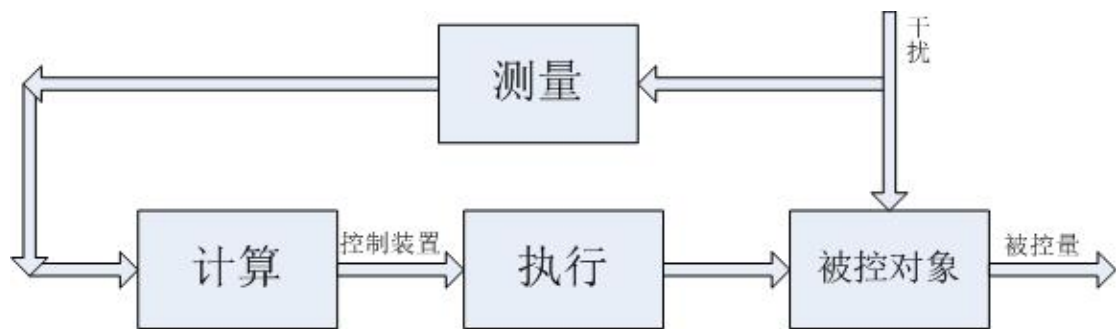
自动控制的**任务**：使被控对象的被控量等于给定值。

自动控制系统：是指能够完成自动控制任务的设备，一般由控制装置和被控对象组成。

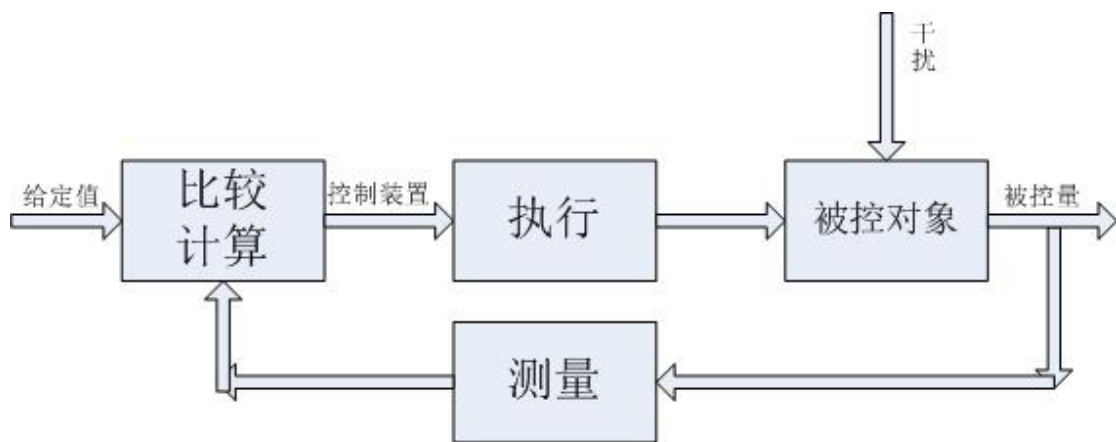
2、自动控制的基本方式



图一 按给定值操作的开环控制



图一 按干扰补偿的开环控制



图三 按偏差调节的闭环控制

3、本章重点

根据已知自动控制系统，能够画出系统的方框图，清楚系统属于何种控制方式，并能找出被控对象、被控量、给定值和干扰量。

第二章 自动控制系统的数学模型

1、控制系统微分方程的建立

根据系统内各变量之间的关系建立微分方程，确定系统和各元件的输入和输出变量。

2、传递函数

定义：零初始条件下，系统输出与输入的拉普拉斯变换之比，即 $G(s) = \frac{C(s)}{R(s)}$ ，传递函数完全由系统的参数、结构决定，与外界输入无关。

3、典型环节的传递函数

(1)、比例环节， $G(s) = K$ 。

(2)、积分环节， $G(s) = \frac{1}{s}$ 。

(3)、微分环节， $G(s) = s$ 。

(4)、惯性环节， $G(s) = \frac{1}{Ts+1}$ 。

(5)、一阶微分环节， $G(s) = \tau s + 1$ 。

(6)、二阶振荡环节， $G(s) = \frac{1}{s^2 + 2\zeta\omega_n s + \omega_n^2}$ 。

(7)、二阶微分环节， $G(s) = s^2 + 2\zeta\omega_n s + \omega_n^2$ 。

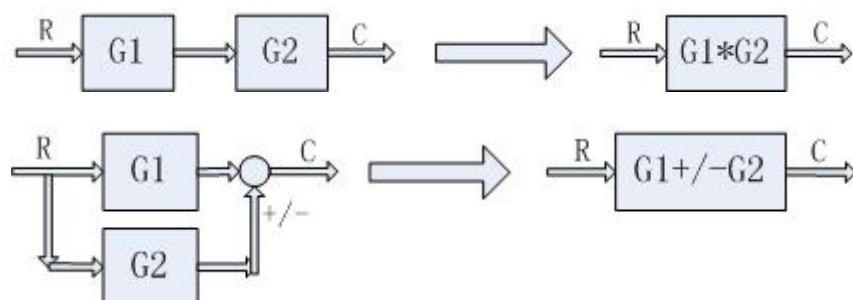
(8)、延时环节， $G(s) = e^{-\tau s}$ 。

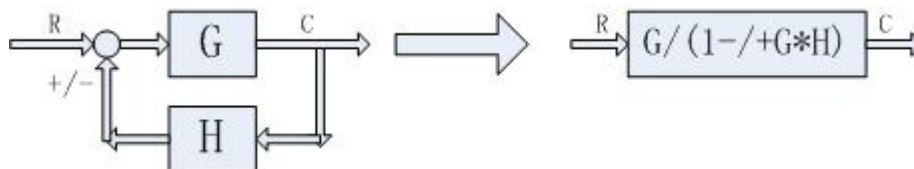
其中，前面七种典型环节的传递函数经常使用，大家要记住。

4、动态结构图

(1)、动态结构图一般由四种基本单元组成：信号线，方框，引出点，综合点。

(2)、动态结构图的几种常用等效变换





5、梅森公式

梅森公式一般形式为
$$G(s) = \frac{\sum_{k=1}^n P_k \Delta_k}{\Delta}$$
。

式中， $G(s)$ ——待求传递函数；

Δ ——特征式，且 $\Delta = 1 - \sum L_i + \sum L_i L_j - \sum L_i L_j L_k \cdots$ ；

P_k ——第 k 条前向通道的总传递函数；

Δ_k ——特征式中，将与第 k 条前向通道接触的回路所在项出去后的余下部分，称为余子式；

$\sum L_i$ ——各回路的“回路传递函数”之和；

$\sum L_i L_j$ ——两两不接触的回路“回路传递函数”乘积之和；

$\sum L_i L_j L_k$ ——三三不接触的回路“回路传递函数”乘积之和。

6、本章重点

熟记常用的典型环节的传递函数；熟练化简系统结构图，得到系统传递函数；熟练掌握梅森公式，并应用其化简复杂结构图得传递函数。

第三章 时域分析法

1、系统的时间响应

一个系统的时间响应 $c(t)$ ，取决于系统本身结构、参数（即传递函数），系统初始状态以及外界输入。典型初始状态为零状态。

2、典型外作用

(1)、单位阶跃作用， $L[1(t)] = \frac{1}{s}$ ；

(2)、单位斜坡作用， $L[t*1(t)] = \frac{1}{s^2}$ ；

(3)、单位脉冲作用， $L[\delta(t)] = 1$ ；

(4)、正弦作用, $L[A\sin(\omega t)*1(t)] = \frac{A\omega}{s^2 + \omega^2}$ 。

3、阶跃响应的重要性能指标

(1)、调节时间 t_s ：在单位阶跃响应曲线的稳态值附近，取 $\pm 5\%$ （或 $\pm 2\%$ ）作为误差带，响应曲线达到并不再超出该误差带的最小时间，标志系统进入稳态过程反映系统的快速性。

(2)、超调量 $\sigma\%$ ：在响应过程中，超出稳态值的最大偏离量与稳态值的比值，

$$\sigma\% = \frac{h(t_p) - h(\infty)}{h(\infty)} \times 100\%, \text{ 反应系统的平稳性。}$$

(3)、稳态误差 e_{ss} ：时间趋于无穷时，系统单位阶跃响应的实际值（稳态值）与期望值之差，即 $e_{ss} = 1 - h(\infty)$ ，反映系统的响应精度。

4、一、二阶系统单位阶跃响应

(1)、一阶系统

1)、传递函数 $\Phi(s) = \frac{1}{Ts+1}$ ，T 为时间常数。

2)、单位阶跃响应

$$C(s) = \Phi(s) * R(s) = \frac{1}{Ts+1} * \frac{1}{s}, \quad c(t) = L^{-1}\left[\frac{1}{Ts+1} * \frac{1}{s}\right] = 1 - e^{-\frac{t}{T}}, t \geq 0。$$

对应 5% 误差带的调节时间 $t_s = 3T$

对应 2% 误差带的调节时间 $t_s = 4T$

(2)、二阶系统

1)、传递函数 $\Phi(s) = \frac{\omega_n^2}{s^2 + 2\zeta\omega_n s + \omega_n^2}$ ， ζ 为阻尼比， ω_n 为无阻尼振荡频率。

2)、系统特征方程： $s^2 + 2\zeta\omega_n s + \omega_n^2 = 0$ 。 $s_{1,2} = -\zeta\omega_n \pm \omega_n\sqrt{\zeta^2 - 1}$

当 $0 < \zeta < 1$ 时，特征方程有一对实部为负的共轭复根，系统时间响应具有振荡性，为欠阻尼状态。

当 $\zeta = 1$ 时，特征方程有两个相等的负实根，为临界阻尼状态。

当 $\zeta > 1$ 时，特征方程有两个不相等的负实根，为过阻尼状态。对于临界阻尼和过阻尼状态，系统的时间响应均无振荡。

当 $\zeta = 0$ 时，特征方程有一对纯虚根，为零阻尼状态，系统时间响应为等幅振荡。

当 $\zeta < 0$ 时，特征方程有正实部的根，为负阻尼状态，此时系统不稳定。

3)、阶跃响应

$\zeta > 1$ 过阻尼状态时, $s^2 + 2\zeta\omega_n s + \omega_n^2 = (s + \frac{1}{T_1})(s + \frac{1}{T_2})$, ($T_1 > T_2$), 相当于两个

时间常数不同的惯性环节串联。调节时间: $T_1 = T_2$ 时, $t_s = 4.75T_1$; $T_1 = 4T_2$,

$\zeta = 1.25$, $t_s = 3.3T_1$; $T_1 > 4T_2$, $\zeta > 1.25$, $t_s = 3T_1$ 。此时, 过阻尼状态无超调量。

$0 < \zeta < 1$ 欠阻尼状态时, $s_{1,2} = -\zeta\omega_n \pm j\omega_n\sqrt{1-\zeta^2}$, 令 $\sigma = \zeta\omega_n$,

$\omega_d = \omega_n\sqrt{1-\zeta^2}$, 则 $s_{1,2} = -\sigma \pm j\omega_d$, ω_d 成为阻尼角振荡频率。阻尼角

$\beta = \arccos \zeta$ 。性能指标: 上升时间 $t_r = \frac{\pi - \beta}{\omega_d}$; 峰值时间 $t_p = \frac{\pi}{\omega_d}$; 超调量

$\sigma\% = e^{-\frac{\pi\zeta}{\sqrt{1-\zeta^2}}} \times 100\%$; 调节时间: $\zeta < 0.8$ 时, $t_s = \frac{3.5}{\zeta\omega_n}$ (对应 5% 误差

带), $t_s = \frac{4.5}{\zeta\omega_n}$ (对应 2% 误差带)。

5、系统稳定性分析

1)、概念: 系统的稳定性只取决于系统的结构参数, 与初始条件及外作用无关。

2)、稳定的数学条件: 系统的闭环传递函数的特征方程 (即闭环传递函数的分母) 的所有特征根都具有负实部, 即在 s 平面的左半平面, 当实部为零时, 处于稳定与不稳定的临界状态, 由于受到扰动后不能恢复原来的状态, 亦归为不稳定状态。

3)、稳定性判据

见课本 90-93 页, 大家重点掌握劳思判据。

6、稳态误差分析及计算

1) 稳态误差一般有两种定义: a、 $e(t) = r(t) - c(t)$, b、 $e(t) = r(t) - b(t)$, 当系统为单位负反馈时, 两种定义统一。

2)、稳态误差计算公式: $e_{ss} = \lim_{t \rightarrow \infty} e(t) = \lim_{s \rightarrow 0} sE(s)$, 式中

$E(s) = \Phi_{ER}(s)R(s) + \Phi_{EN}N(s)$ ，前提是， $sE(s)$ 所有极点均具有负实部。

大家注意看看课本 P100 例 3-12.

7、稳态误差与系统结构参数的关系

设 ν 为系统开环传递函数中积分环节的数目。

$\nu = 0$ ，系统为 0 型系统，其对阶跃输入的稳态误差为常值，对斜坡输入和等加速输入的稳态误差均为 ∞ 。

$\nu = 1$ ，系统为 I 型系统，其对阶跃输入稳态误差为 0，对斜坡输入稳态误差为常值，对等加速输入稳态误差为 ∞ 。

$\nu = 2$ ，系统为 II 型系统，其对阶跃输入和斜坡输入的稳态误差为 0，对等加速输入的稳态误差为常值。

第四章 根轨迹法

1、根轨迹：指开环传递函数中某个参数（一般是开环增益 K ）从零变化到无穷时闭环特征根在 s 平面内移动的轨迹。当变化的参数为开环增益 K 时，为常规根轨迹；当变化参数为其他参数时，如开环零、极点，为广义根轨迹；系统为正反馈时，对应于零度根轨迹；系统为负反馈时，对应于 180° 根轨迹。

请大家注意开环传递函数中开环增益 K 与开环根轨迹增益 K^* 的概念及关系。以

$G(s) = \frac{K}{s(0.5s+1)} = \frac{K^*}{s(s+2)}$, ($K^* = 2K$) 为例，开环增益 K 对应的开环传递函数的形

式为 $G(s) = \frac{K}{s(0.5s+1)}$ ，开环根轨迹增益 K^* 对应的开环传递函数的形式为

$G(s) = \frac{K^*}{s(s+2)}$ ，注意分母 s 的系数。

2、根轨迹方程

闭环特征方程： $D(s) = 1 + G(s)H(s) = 0$ ，即 $G(s)H(s) = -1$ 。

设开环传递函数具有 m 个零点和 n 个极点，则有

$$G(s)H(s) = \frac{K^* \prod_{i=1}^m (s - z_i)}{\prod_{i=1}^n (s - p_i)} = -1$$

模值方程

$$G(s)H(s) = \frac{K^* \prod_{i=1}^m |s - z_i|}{\prod_{i=1}^n |s - p_i|} = 1$$

相角方程

$$\sum_{i=1}^m \angle(s - z_i) - \sum_{i=1}^n \angle(s - p_i) = (2k + 1)\pi$$

其中，相角方程是决定系统闭环根轨迹的充要条件，即只要 s 满足相角方程就可以确定该点是根轨迹上的点，模值方程用于求开环根轨迹增益 K^* 和开环增益 K ，即一旦确定某点是根轨迹上的点，即可带入模值方程中求出 K^* ，再由 K^* 求出 K 。

3、根轨迹基本法则

- (1)、根轨迹支分数：支数=开环特征方程 $G(s)$ 分母的阶数 n ，即与开环极点个数相同。
- (2)、根轨迹是连续曲线，且对称于实轴。
- (3)、根轨迹起始于开环极点，终止于开环零点。
- (4)、实轴上的根轨迹：若实轴上某一段右边开环实数零、极点的个数之和为奇数，则该段为根轨迹。
- (5)、根轨迹的渐近线：根轨迹共有 $(n-m)$ 条渐近线。

$$\varphi_a = \frac{(2k + 1)\pi}{n - m}$$

$$\sigma_a = \frac{\sum p_i - \sum z_i}{n - m}, \text{ 以上 } k=0, 1, 2, \dots, n-m-1.$$

σ_a 为所有渐近线与实轴的交点，且，交点相同； φ_a 为各个根轨迹与实轴的交角。

- (6)、根轨迹起始角与终止角：

起始角： $\theta_{p_i} = (2k + 1)\pi + \sum \varphi_{z_j p_i} - \sum_{j \neq i} \theta_{p_j p_i}$

终止角： $\varphi_{z_j} = (2k + 1)\pi - \sum_{i \neq j} \varphi_{z_j z_i} + \sum \theta_{p_j z_i}$

- (7)、根轨迹分离点 d ：

根轨迹分离点坐标公式: $\sum_{i=1}^n \frac{1}{d - p_i} = \sum_{j=1}^m \frac{1}{d - z_j}$, 注意: 分离点必须满足在根

轨迹上, 因此满足这个方程的 d 并不一定是分离点, 还需要根据实际情况进行取舍。

(8)、分离角与会合角:

$$\text{分离角: } \theta_d = \frac{1}{l} [(2k+1)\pi + \sum_{i=1}^m \angle(d - z_i) - \sum_{i=l+1}^n \angle(d - s_i)]$$

$$\text{会合角: } \varphi_d = \frac{1}{l} [(2k+1)\pi - \sum_{i=l+1}^n \angle(d - s_i) + \sum_{i=1}^m \angle(d - p_i)]$$

式中, l 为分离点处相遇或分开的根轨迹条数。

(9)、根轨迹与虚轴交点

由开环传递函数 $G(s)$ 得出闭环特征方程 $D(s)$, 令 $D(s) = 0$, 将 $s = j\omega$ 代入方

程, 再分别令其实部和虚部为 0 求得 ω 和 K^* 和 K 。

(10)、根之和与根之积

当 $n - m \geq 2$ 时, 根之和与 K^* 无关, 是个常数, 因此, 当 K^* 增加时, 闭环的根如果有一部分向左移动, 那么一定有一部分向右移动, 以保证根之和不变。

4、广义根轨迹

当开环传递函数中变化的参数不是开环增益 K , 而是开环零、极点, 则对应时的根轨迹为广义根轨迹。此时, 我们需要对闭环特征方程做一些转化, 以得到常规根轨迹的形式。例如,

$$G(s) = \frac{K^*(s - z_1)}{s(s^2 + 2s + 2)} \quad (z_1 \text{ 为具有负实部零点})$$

$$\text{得 } D(s) = s(s^2 + 2s + 2) + K^*(s - z_1) = 0$$

$$D(s) = s(s^2 + 2s + 2) + K^*s - K^*z_1 = 0$$

两边同除以 $s(s^2 + 2s + 2) + K^*s$, 得

$$1 + \frac{-K^* z_1}{s(s^2 + 2s + 2) + K^* s} = 0$$

则等效开环传递函数为 $G_1(s) = \frac{-K^* z_1}{s(s^2 + 2s + 2) + K^* s}$

此时可以将此视为常规根轨迹来绘根轨迹图。此方法可以实现的重点在于，两种开环传递函数下，闭环特征方程没有发生变化，即根轨迹不会发生变化。

5、零度根轨迹

(1)、若系统为正反馈或者具有某些非最小相位系统，则会出现零度根轨迹。即

$G(s)H(s) - 1 = 0$ ，则 $G(s)H(s) = 1$ ，此时，模值方程不变，但相角方

程变为 $\sum_{i=1}^m \angle(s - z_i) - \sum_{i=1}^n \angle(s - p_i) = 2k\pi$ ，因此成为零度根轨迹。

(2)、零度根轨迹画法

与常规根轨迹比较，只有以下四个法则发生变化，其余不变。

法则四 实轴上的根轨迹：若实轴上某一段右边开环实数零、极点的个数之和为偶数，则该段为根轨迹。

法则五 根轨迹的渐近线： $\varphi_a = \frac{2k\pi}{n - m}$ ， σ_a 计算公式不变。

发展六 根轨迹的起始角与终止角

起始角： $\theta_{p_i} = 2k\pi + \sum \varphi_{z_j p_i} - \sum_{j \neq i} \theta_{p_j p_i}$

终止角： $\varphi_{z_j} = 2k\pi - \sum_{i \neq j} \varphi_{z_j z_i} + \sum \theta_{p_j z_i}$

法则八 分离角与会合角

分离角： $\theta_d = \frac{1}{l} [2k\pi + \sum_{i=1}^m \angle(d - z_i) - \sum_{i=l+1}^n \angle(d - s_i)]$

会合角： $\varphi_d = \frac{1}{l} [(2k+1)\pi - \sum_{i=l+1}^n \angle(d - s_i) + \sum_{i=1}^m \angle(d - p_i)]$

6、闭环零、极点分布与阶跃响应的关系

1)、用闭环零、极点表示阶跃响应式

$$\Phi(s) = \frac{C(s)}{R(s)} = \frac{K^* \prod_{i=1}^m (s - z_i)}{\prod_{i=1}^n (s - p_i)}$$

输入单位阶跃信号，即 $R(s) = \frac{1}{s}$ ，得

$$C(s) = \frac{K^* \prod_{i=1}^m (s - z_i)}{\prod_{i=1}^n (s - p_i)} * \frac{1}{s} = \frac{A_0}{s} + \sum_{k=1}^n \frac{A_k}{s - s_k}$$

A_0 和 A_k 为待定系数，其中 $A_0 = \Phi(0)$ ， $A_k = \frac{K^* \prod_{i=1}^m (s_k - z_i)}{s_k \prod_{\substack{i=1 \\ i \neq k}}^n (s_k - s_i)}$ 。

对 $C(s)$ 求拉普拉斯反变换得

$$c(t) = A_0 + \sum_{k=1}^n A_k e^{s_k t}$$

可以看出，单位阶跃响应将由闭环极点 s_k 及系数 A_k 决定。

分析：

若要求系统的稳定性，则要求所有闭环极点 s_k 均具有负实部，即在 s 平面的左半部。

若要求系统快速性好，则要求每个闭环极点尽量远离虚轴，这样 $A_k e^{s_k t}$ 才能衰减的快。

若要求系统平稳性好，则复数极点最好设置在 s 平面与负实轴成 $\pm 45^\circ$ 夹角线附近。

若要求动态过程尽快消失，则系数 A_k 小，
$$A_k = \frac{K^* \prod_{k=1}^m (s_k - z_i)}{s_k \prod_{\substack{i=1 \\ i \neq k}} (s_k - s_i)}$$
，则要求闭环

极点之间间距 $(s_k - s_i)$ 要大，且闭环零点之间间距 $(s_k - z_i)$ 要小。

2)、主导极点与偶极子

离虚轴最近且附近没有闭环零点的一些闭环极点（复数极点或实数极点）对系统的动态过程影响最大，起着主导作用，即为主导极点，一般其他极点的实部比主导极点的实部大 6 倍以上，那么那些闭环极点就可以忽略。

我们将一对靠的很近的闭环零点和极点成为偶极子，当它们靠的很近时，之间的模值相差很小，则分子分母中的它们可以抵消掉，从而使闭环特征方程降阶。

7、系统阶跃响应的根轨迹分析

大家将课本 P160-164 页的三道例题认真看看，熟悉解题的一般过程。

第五章 频率域方法

要点与重点

1、频率特性的定义

传递函数为 $\phi(s)$ 的稳定系统，在正弦函数 $Ar \sin \omega t$ 的作用下，输出的稳态部分也是频率为 ω 的正弦信号 $Ac \sin(\omega t + \varphi(\omega))$ ，其中需要牢记

$A(\omega) = \frac{Ac}{Ar} = |\phi(j\omega)|$ ， $\varphi(\omega) = \angle \phi(j\omega)$ ，其中 $A(\omega)$ 为幅频， $\varphi(\omega)$ 为相频，他们统称为

幅相频率特性即 $A(\omega)e^{j\varphi(\omega)} = |\phi(j\omega)|e^{j\angle \phi(j\omega)}$

2、频率特性 $\phi(j\omega)$ 通常可以用三种曲线表示，需要重点掌握

A、幅频特性曲线 $A(\omega)$ 与相频特性曲线 $\varphi(j\omega)$ ；

B、幅相特性曲线或称乃奎斯特曲线，它是将频率 ω 作为参变量，在 $\phi(j\omega)$ 的函数值平面下所作出的曲线

C、对数频率特性曲线又称伯德图，包括对数幅频特性曲线和对数相频特性曲线。其中

对数幅频特性曲线用 $L(\omega) = 20 \lg A(\omega) \text{ db}$

这三种曲线必须会根据传递函数，进行作图，这是后面的一些基础。

3、典型环节的频率特性

北京航空航天大学自动化学院

典型的环节包括有比例环节、积分环节、惯性环节（一阶系统）、振荡环节（二阶系统）、微分环节。其中大家应该重点掌握惯性环节（一阶系统）和振荡环节（二阶系统），其他的相对比较容易好掌握。

A、惯性环节

$$\text{传递函数 } G(s) = \frac{1}{Ts+1}, \text{ 其频率特性 } G(j\omega) = \frac{1}{jT\omega+1}$$

$$\text{相应的幅频特性 } A(\omega) = |G(j\omega)| = \frac{1}{\sqrt{(T\omega)^2+1}}$$

$$\text{相频特性 } \varphi(\omega) = \angle G(j\omega) = -\arctan T\omega$$

$$\text{幅相特性 } G(j\omega) = \frac{1}{jT\omega+1} = \frac{1}{\sqrt{(T\omega)^2+1}} e^{-j\arctan T\omega}$$

这三种相应的曲线要掌握

对数频率特性

$$L(\omega) = 20\lg A(\omega) = L(\omega) = 20\lg A(\omega) = 20\lg \frac{1}{\sqrt{(T\omega)^2+1}} = -20\lg \sqrt{(T\omega)^2+1}$$

在作图时一般做其渐近线

由其对数幅频表达式可知当 $T\omega \ll \frac{1}{T}$ 时，可省略掉 $(T\omega)^2$ ，得

$L(\omega) = -20\lg 1 = 0\text{db}$ ，这是一条与坐标轴重合的直线，称为其低频渐近特性

当 $T\omega \gg \frac{1}{T}$ ，可以省略根号中的 1，得 $L(\omega) = -20\lg T\omega$

这是一个直线方程。

所以在低频范围内， $L(\omega)$ 为一条 0db 直线，在高频范围内为 -20db/dec 的直线，转折频

率为 $\omega = \frac{1}{T}$ 处。

在其相频特性曲线中，随着频率的增加，相位由 0 到 -90 度转变，转折频率为 $\omega = \frac{1}{T}$ 时，角度为 -45 度。

B、二阶系统

$$\text{其传递函数 } G(s) = \frac{\omega_n^2}{s^2 + 2\zeta\omega_n s + \omega_n^2}$$

北京航空航天大学自动化学院

其相应的幅频特性中，有以下几个点需要比较重要

谐振频率 $\omega_m = \omega_n \sqrt{1 - 2\zeta^2}$ ($0 < \zeta < 0.707$)

其中谐振峰值 $A_m = \frac{1}{2\zeta \sqrt{1 - 2\zeta^2}}$

从上式可以得到振荡环节的 ζ 越小，峰值越大，这表明系统的平稳性越差，超调量越大，若取最佳阻尼比 $\zeta = 0.707$ ，则阶跃响应既快又平稳，这点与前面的时域分析连接在一起，也和后面的控制系统的校正有联系。

相频特性需要清楚，当 ω 由 0 到 ∞ 变化时，对应的 $\varphi(\omega)$ 的值由 0 度到 -180 度，其中当 ω 为 ω_n 时，其 $\varphi(\omega)$ 为 -90 度

对数幅频特性，也是需要做其渐近线方程，再在其基础上做修正

$\frac{\omega}{\omega_n} \ll 1$ ，将幅频特性曲线等效于 $L(\omega) = -20 \lg 1 = 0$ 为一条 0db 线

$\frac{\omega}{\omega_n} \gg 1$ ，将幅频特性曲线等效于 $L(\omega) = -20 \lg \frac{\omega^2}{\omega_n^2} = -40 \lg \frac{\omega}{\omega_n}$ ，在高频特性为一条 -40db/dec 的直线

对数幅频特性的作法是，以 ω_n 为转折点，当频率小于 ω_n 时，取 0db 线，当频率大于 ω_n 时，取 -40db/dec 直线

其中需要注意的是，用渐近线代替精确曲线会产生一定的误差，这是由于阻尼比 ζ 的影响，当 $0.4 < \zeta < 0.707$ 时，误差不大，当 $\zeta < 0.4$ 时，误差会随着 ζ 的减小而增大，需作出以下修正

$$L(\omega_n) = -20 \lg 2\zeta, \quad L(\omega) = -20 \lg 2\zeta \sqrt{1 - 2\zeta^2}$$

4、频率稳定的判据

A、乃奎斯特稳定判据及应用

闭环系统稳定的充要条件是：当 ω 由 0 到 ∞ 变化时，开环幅相特性曲线绕 $(-1, j0)$ 点逆时针方向转过 $\frac{P}{2}$ 圈。P 为系统开环传递函数位于右半 s 平面的极点数。

若系统开环稳定，即 $P=0$ 时，开环幅相特性曲线不包括 $(-1, j0)$ 点，则系统闭环稳定

北京航空航天大学自动化学院

若系统开环不稳定，则闭环在右半 s 平面极点数为

$Z=P-2N$ ，其中 N 为开环幅相特性曲线绕 $(-1, j0)$ 点转过的圈数，其中逆时针方向旋转为正

B、对数频率的稳定判据

闭环系统稳定的充要条件是：在开环对数幅频 $20\lg|G(j\omega)|>0$ 的频段内，对应的开环对数相频特性曲线对 $-\pi$ 线的正负穿越次数之差为 $\frac{P}{2}$ 。即

$$N_+ - N_- = \frac{P}{2} \quad P \text{ 为系统开环传递函数位于右半 } s \text{ 平面的极点数。}$$

注意：在开环对数幅频 $20\lg|G(j\omega)|>0$ 的频段内，相频特性曲线由下往上穿越 $-\pi$ 线为正穿越。 N_+ 为正穿越次数。从 $-\pi$ 线开始往上称为半个正穿越

在开环对数幅频 $20\lg|G(j\omega)|>0$ 的频段内，相频特性曲线由上往下穿越 $-\pi$ 线为负穿越。 N_- 为负穿越次数。从 $-\pi$ 线开始往下称为半个负穿越。

5、稳定裕度

A、相稳定裕度 Υ ：

幅相频率特性曲线上模值等于 1 的矢量与负实轴的夹角。在对数幅频特性曲线上，指的是 $20\lg|G(j\omega)|=0$ 处的相频曲线 $\angle G(j\omega)$ 与 $-\pi$ 线的角差，即

$$\Upsilon = 180^\circ + \angle G(j\omega)$$

B、模稳定裕度 h ：

幅相频率特性曲线上，相角 $\angle G(j\omega) = -180^\circ$ 这一频率所对应的幅值的倒数，或者说幅相特性曲线 $G(j\omega)$ 与负实轴交点的模值的倒数

$$h = \frac{1}{|G(j\omega)|}$$

大家可以参照书上 211 页的图进行理解，这个两个稳定裕度是比较重要的，在后面的第六章控制系统校正中，它是一个很重要的关键点，望大家一定要掌握其概念和其计算方法。

6、闭环频率特性和系统阶跃响应的关系

频率性能指标

I、谐振峰值 M_m ：幅频特性 $M(\omega)$ 的最大值，反应了系统的平稳性。 M_m 越大，说明系统的阻尼越小，响应的超调量就越大，平稳性就差； M_m 小，系统的平稳性就好。

II、零频幅值 $M(0)$ ：指零频率 $\omega=0$ 时的振幅比；反映系统在阶跃信号下是否有静差。 $M(0)=1$ ，表明系统在阶跃作用下没有静差； $M(0)$ 不等于 1 时，表明系统在阶跃作用下有静差。

III、频带 ω_b ： $M(\omega)$ 数值衰减到 $0.707 M(0)$ 时所对应的频率，反映系统的快速性。 ω_b 越高，反应了系统复现快速变化的信号能力强，失真小。

除开这些指标，还有其他如超调量 $\delta\%$ 、截止频率 ω_c 、相稳定裕度 γ 、模稳定裕度 h 、调节时间 t_s 等，希望大家正确理解这些指标，他们与前面的章节联系起来了，也是后面章节的基础，这些指标对于你很好的理解控制系统至关重要，对于设计一个比较好的控制系统这也是一个基础。

7、开环频率特性和系统阶跃反应的关系

系统开环对数幅频特性曲线三频段分为低频段、中频段、高频段：

低频段通常指的是曲线在第一个转折频率之前的区段，这一段有积分环节和开环增益决定。低频段主要反应其精度。

中频段指的是 $20\lg|G(j\omega)|$ 曲线在截止频率 ω_c 附近的区段，这段特性集中反应了系统的平稳性和快速性

高频段指的是 $20\lg|G(j\omega)|$ 曲线在中频段以后区段，这段主要反映系统对于高频干扰的抑制能力。高频特性分贝值越低，其抗干扰能力越强。

第六章 控制系统的校正

要点与重点

1、系统的校正设计一些基础知识

A、性能指标

超调量 $\delta\%$ ；调节时间 t_s ；上升时间 t_r ；无差度 ν ；稳态误差或者开环增益（静态位置误差系数 K_p ；静态速度误差系数 K_v ）。

对于闭环频率特性：峰值比；峰值频率；频带 ω_b ；

对于开环频率特性：截止频率 ω_c ；相稳定裕度 γ ；模稳定裕度 h ；

常用的复数域指标有：衰减度 η 与阻尼角 φ

需要注意的是要弄清这些指标的具体意义，以及其之间的一些转换关系

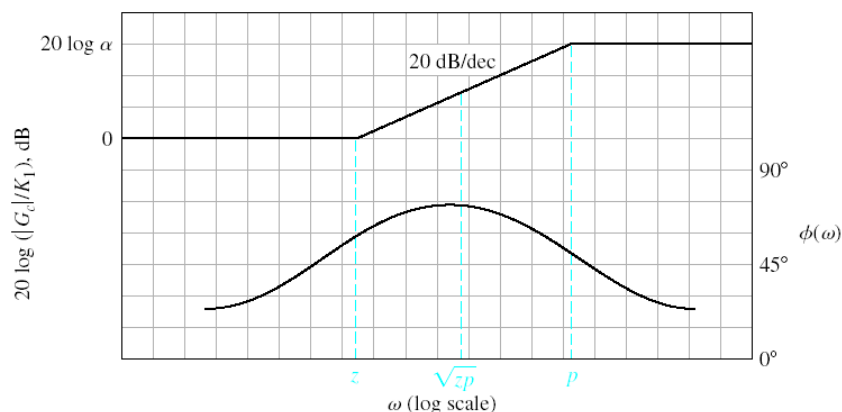
B、几种校正方法

串联校正、反馈校正、前置校正和干扰补偿。而且一般校正设计的方法大体上分为

2、串联校正

A、相位超前校正

$$G(s) = \frac{1 + \alpha Ts}{Ts + 1} \quad (\alpha > 1)$$



提供正的相移，相位超前主要发生在频段 $(\frac{1}{\alpha T}, \frac{1}{T})$ ，

而超前角的最大值为 $\varphi_m = \arcsin \frac{\alpha - 1}{\alpha + 1}$

其对应的角频率为 $\omega_m = \frac{1}{\sqrt{\alpha T}}$

超前校正主要用于展宽系统的频带和提高稳定裕度，以改善系统的快速性和振荡性，但它会使系统的高频增益增大，不利于系统抗高频干扰的能力

设计的基本原则应使相位超前发生在系统的中频段

频率域设计的一般步骤如下

- ① 根据稳态精度的要求调整开环增益 K ；
- ② 根据取定的 K 值，作出未校正的伯德图，记为 L_1 ， φ_1 。如果 ω_c ， γ 不能满足要求，均需要增大，则选用相位超前环节
- ③ 选取校正环节参数 T 、 α 。我们希望相位超前发生在新截止频率上
- ④ 根据 ω_c 的要求，在轴上取一点新的 ω_c' ，在 L_1 线上求出 ω_c' 处的分贝值

$L_1(\omega_c')$ ，由下式确定 T 、 α ：

$$10 \lg \alpha = |L_1(\omega_c')|$$

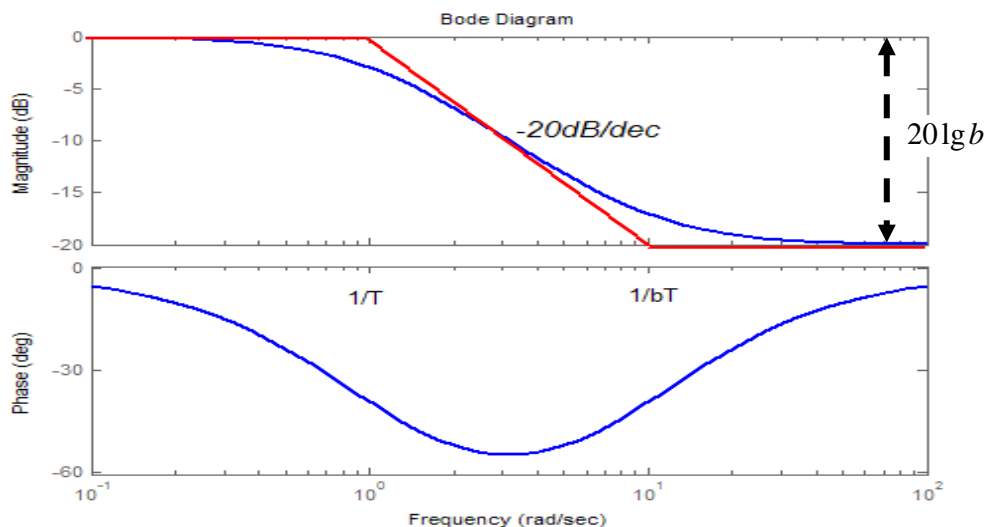
$$\omega_c' = \frac{1}{\sqrt{\alpha T}}$$

⑤ 校验校正后的结果。作出校正后的伯德图 L_2 , φ_2 , 判断 ωc , γ 是否满足条件

B、相位滞后校正

相位滞后校正的传递函数为

$$G(s) = \frac{1 + \beta Ts}{Ts + 1} \quad (\beta > 1)$$



加入滞后校正主要是利用其高频衰减特性，以解决系统增益和稳定裕度之间的矛盾。又由于它会使高频增益减小，有利于提高系统的抗干扰能力

设计的原则是使幅频特性的衰减发生在系统的中频区和高频段，相位滞后发生在低频段。设计的基本步骤为

- 1、根据稳态精度的要求调整开环增益 K ;
- 2、根据取定的 K 值，作出未校正的伯德图，记为 L_1 , φ_1 。如果 γ 不能满足要求，需要增大，则选用相位滞后环节
- 3、选取校正环节的的参数 T 、 β 。根据 γ 的要求，在曲线 φ_1 上找出相移为 $-\pi + \gamma$

(有时候可以略大于它) 时的频率值 $\omega c'$, 在 L_1 线上求出 $\omega c'$ 对应的分贝值

$L_1(\omega c')$, 由下面两式确定参数 T 、 β 。

$$20\lg \beta + \left| L_1(\omega c') \right| = 0$$

$$\frac{1}{\beta T} \leq 0.1 \omega c'$$

- 4、校验校正后的结果。作出校正后的伯德图 L_2 , φ_2 , 判断 γ 是否满足条件

C、超前—滞后校正

其传递函数为

$$G_c(s) = \frac{(1 + \alpha T_2 s)(1 + \beta T_1 s)}{(T_2 s + 1)(T_1 s + 1)}$$

$\alpha > 1, \beta < 1, \beta T_1 > \alpha T_2$ 。在超前滞后校正中需要掌握其对应的伯德图，并能够结合其进行设计。

D、PID 校正

其又称为比例—积分-微分校正，其传递函数为

$$G_c(s) = K_p + K_d s + \frac{1}{Ts}$$

3、反馈校正

系统中的传递函数为 $G_2(s)$ 的部分被传递到传递函数为 $H(s)$ 的反馈环节所包围。从而形成了局部的反馈结构形式图。利用反馈改变结构、参数。

- 1、反馈包围积分环节
- 2、入速度反馈包围惯性、积分和放大环节
- 3、速度反馈包围一个小阻尼和二阶振荡和放大环节

反馈校正的作用通常可以归纳为：

- 1、改变系统某一局部的结构和参数
- 2、削弱非线性因素的影响
- 3、提高对模型摄动的不灵敏性
- 4、抑制干扰

4、前置校正

- 1、对控制作用的附加前置校正（图见书本 258 页）

闭环系统的传递函数为

$$\frac{C(s)}{R(s)} = [1 + G_c(s)] \frac{G(s)}{1 + G(s)}$$

误差完全补偿，即 $E(s) = R(s) - C(s) = 0$ 的条件为

$$G_c(s) = \frac{1}{G(s)}$$

本图中其加入前置校正后等效的单位负反馈系统的开环传递函数 $G_0(s)$

可由下式解出

$$\left[1+G_c(s)\right]\frac{G(s)}{1+G(s)}=\frac{G_0(s)}{1+G_0(s)}$$

$$G_0(s)=\frac{(1+G_c(s))G}{1-G_c(s)G}$$

2、对干扰作用的附加前置校正

图见书本 261 页图-30

干扰作用时，系统的输出为

$$C(s)=\frac{G_2(1+G_2G_1)}{1+G_2G_1}N(s)$$

对干扰完全补偿的条件为

$$G_c(s)=-\frac{1}{G_1(s)}$$

需要注意的是这种补偿条件是不太容易实现的，我们往往采用的是近似补偿方式，而且根据主要的信号如（阶跃响应和斜坡响应）进行相应的校正。

这一章是前几章的综合，需要第二章、第三章、第四章、第五章的坚实基础，大家在进行系统的校正时，可以结合着前面几章的时域分析法、根轨迹法和频率域方法的知识，进行计算，是一个综合的复习和掌握。

编者：

自控原理的这门课的各章复习要点和重点就写到这里了，当然会有很多不足的地方，希望大家结合着这个复习资料，以书本为主，这个作为一个提纲进行相应的指导性复习，抓住重点，在复习的过程中，首先是基本基础知识的掌握，然后才是综合的利用，各章节之间会有紧密的联系，在复习的过程中还需要通过做一定量的习题，书后老师布置的就可以，来进行配套的巩固和复习，这样会取得更好的效果。最后，希望大家取得好成绩，开开心心回家过年！